Model AR. Drone Dengan Indoor dan Outdoor Hull

Agung Prayitno, Veronica Indrawati
Jurusan Teknik Elektro
Universitas Surabaya, UBAYA
Surabaya, Indonesia
prayitno_agung@staff.ubaya.ac.id
veronica@staff.ubaya.ac.id

Abstract— In this paper, a model of AR.Drone will be designed by assuming that the AR.Drone hardware and its internal controller as a single system. The model will be designed for the AR.Drone with indoor and outdoor hull. Movements of AR.Drone are controlled by 4 inputs: pitch, roll, vertical rate and yaw rate. For the modeling process, AR.Drone will be flown by accessing the internal board controller using LabVIEW software which has been prepared in the ground station. Set point pitch, roll, yaw rate and vertical rate given to the AR.Drone as inputs and navigation data such as actual pitch, roll, yaw, altitude, forward speed, sideward speed will be recorded alternately. From the data obtained, the model parameter will be estimated using a least-squares method to obtain 4 pieces models representing each input. The model is validated with a new navigation data to demonstrate the accuracy of the model for a given input range. Furthermore, the model with the indoor hull will be compared with the model with outdoor hull.

Keywords—AR.Drone model; roll; pitch; vertical rate; yaw rate; least-squares method; indoor hull; outdoor hull

Abstrak— Dalam paper ini, model AR.Drone akan dirancang dengan mengasumsikan bahwa hardware AR.Drone dan kontroler elektronik bawaannya sebagai satu kesatuan sistem. Model yang akan dirancang adalah model AR.Drone yang diterbangkan dengan menggunakan indoor hull dan outdoor hull. Pergerakan dari AR.Drone dikontrol dengan 4 buah input yaitu: pitch, roll, vertical rate dan yaw rate. Untuk proses pemodelan, AR.Drone akan diterbangkan dengan mengakses internal controller dengan menggunakan software LabVIEW yang telah disiapkan di ground station. Setpoint pitch, roll, yaw rate dan vertical rate diberikan ke AR.Drone sebagai input dan data navigasi seperti halnya actual pitch, roll, yaw, altitude, forward speed, sideward speed akan direkam secara bergantian. Dari data yang diperoleh, parameter model akan diestimasi dengan menggunakan metode least-square untuk mendapatkan 4 buah model yang merepresentasikan setiap input. Model akan divalidasi dengan menggunakan data navigasi baru untuk menunjukkan performansi dari model untuk beberapa rentang nilai input. Selanjutnya model dengan indoor hull akan dibandingkan terhadap model dengan outdoor hull.

Kata kunci—AR.Drone model; roll; pitch; vertical rate; yaw rate; least-squares method; indoor hull; outdoor hull

I. PENDAHULUAN

Quadrotor menjadi salah satu platform riset yang sangat berkembang pada beberapa tahun ini. Quadrotor dipilih karena mempunyai mekanik yang sederhana namun mampu untuk terbang hover, terbang secara vertikal, serta dapat bermanuver lincah. Akan tetapu ada beberapa kelemahan pada pesawat antara lain terbatasnya supply energi dan beban yang dapat diangkut. Tantangan lain adalah susah dikontrolnya pesawat ini secara autonomous karena sistemnya yang unstable[1]. Quadrotor saat ini banyak digunakan untuk laporan berita kondisi lalu lintas, fotografi dan video, pembuatan video promosi suatu kawasan, untuk reality games dan masih banyak lagi.

AR.Drone adalah salah satu platform quadrotor yang secara harga relatif murah namun on-board electronics di dalamnya sudah terdapat motherboard lengkap dengan processor dan Wi-Fi chip, sensor accelerometer, gyroscope, ultrasonic, mikrokontroler dan dua buah kamera. Dalam AR.Drone ini juga telah disertakan real time operating system yang memungkinkan berbagai tugas dapat dilakukan secara bersamaan seperti berkomunikasi dengan ground station melalui Wi-Fi, sensor acquisition, video data sampling, image processing, state estimation, dan closed-loop control[2]. Dengan alasan fitur-fitur yang dimiliki tersebut maka AR.Drone tersebut digunakan sebagai salah satu platform riset di Jurusan Teknik Elektro Universitas Surabaya (JTEUS).

Dengan internal kontroler bawaan pada AR.Drone memungkinkan pengguna untuk mengendalikan manuver terbang AR.Drone dengan mudah karena sebenarnya AR.Drone dirancang sebagai sebuah reality game. Aplikasi untuk mengendalikan AR.Drone ini dapat didownload di Google Play bagi pengguna Android ataupun di App Store bagi pengguna Apple. Beberapa aplikasi yang dapat digunakan untuk mengontrol AR.Drone ini adalah AR. Free Flight 2.0 dan AR. Race 2. Namun demikian, Parrot, sebagai pembuat AR.Drone juga menyertakan Software Development Kit (SDK) [3] yang memungkin pengguna untuk mengakses AR.Drone dengan Wi-fi sehingga dapat melakukan kontrol, merancang algoritma kontrol sendiri dan melakukan data acquistion dengan berbagai macam software. Pada internal controller yang sudah disertakan pada AR.Drone pengguna dapat melakukan beberapa kontrol dasar yang meliputi take-off, landing, hover dan emergency stop. Setiap perintah kontrol tersebut sudah tersedia closed-loop control pada *internal controller* AR.Drone tersebut. Sebagai contoh perintah *take-off*, *internal controller* akan melakukan aksi dengan urutan sebagai berikut: [4]

- Jalankan semua motor
- Naikkan thrust dari semua motor secara berimbang untuk menaikkan ketinggian AR.Drone hingga stabil di sekitar 1 meter.
- Lakukan koreksi kecepatan rotor untuk mempertahankan zero attitude (roll, pitch) dan zero yaw.
- Monitoring kamera bawah untuk mempertahankan posisi drone agar tetap di atas titik *take-off* nya tadi.

Selain kontrol dasar tersebut, pengguna dapat mengontrol gerak AR.Drone dengan 4 buah input yang meliputi: pitch angle, roll angle, yaw rate dan vertical rate. Jika keempat input ini tidak ada (bernilai 0) maka secara otomatis drone akan bekerja seperti halnya pada kondisi hover. Untuk setiap input yang diberikan pengguna, algoritma kontrol akan bekerja sesuai dengan closed loop yang tersedia pada internal kontrolnya.

Tantangan terbesar dalam riset algoritma kontrol AR.Drone di JTEUS adalah belum adanya model AR.Drone yang benar benar bagus. Implementasi algoritma kontroler yang dilakukan dengan cara coba coba atau *trial and error* akan sangat beresiko dan rusaknya AR.Drone akibat pergerakan yang tidak terkontrol. Dengan latar belakang tersebut maka keberadaan model AR.Drone sebagai *simulator* perancangan algoritma kontrol AR.Drone menjadi penting. Keberadaan model AR.Drone juga dapat digunakan untuk menjelaskan karakteristik respon dari drone terhadap input dan *disturbances* yang ada.

Beberapa riset [5,6], yang menjelaskan bagaimana cara untuk mendapatkan model dinamik dari platform *quadrotor* yang mereka gunakan. Secara garis besar proses yang dilakukan adalah sebagai berikut:

- Menentukan reference frame yang terdiri dari body frame dan inertial frame.
- Mendeskripsikan koordinat linear dan angular dari persamaan state gerak kinematik dari quadrotor pada body frame.
- Mendapatkan hubungan translasional dan rotasionalnya pada inertial frame.
- Mendapatkan persamaan dinamik dari gerak sistem fisik quadrotor akibat adanya torsi dan thrust dari masing masing baling baling.
- Mendapatkan parameter model melalui pengukuran maupun identifikasi sistem

Pemodelan yang dilakukan tersebut dilakukan dengan analisis persamaan sistem fisik dari quadrotor.

Ada dua buah cara untuk mendapatkan model dari AR.Drone dari beberapa riset yang dilakukan oleh beberapa orang. Cara pertama dilakukan oleh Sun Yue [5], pemodelan

dilakukan dengan menggunakan persamaan persamaan kinematik dan dinamik dari sistem fisik AR.Drone seperti halnya cara untuk mendapatkan model *quadrotor* pada umumnya. Model ini menggunakan thrust dan torsi sebagai input dari model dinamik quadrotor dan height, roll, pitch dan yaw sebagai output utama dari model.[5,7] Cara kedua dilakukan dengan menganggap hardware AR.Drone lengkap dengan electronic controller-nya sebagai sebuah sistem. Sebagai input dipilih setpoint pitch, setpoint roll, setpoint yaw rate, setpoint vertical rate sedangkan sebagai output berurutan adalah (pitch dan forward speed), (roll dan sideward speed), yaw rate dan vertical rate. Proses pemodelan dilakukan dengan menerbangkan quadrotor untuk masing masing input yang diinginkan dan merekam data navigasi yang diperlukan untuk pemodelan. Dari data navigasi yang diperoleh, parameter model diestimasi dengan menggunakan least square method. Pemodelan dengan cara ini mensyaratkan bahwa AR.Drone sudah terkontrol dengan baik[1]

Tujuan dari paper ini adalah untuk merealiasikan model AR.Drone dengan pendekatan cara kedua di atas dengan menggunakan data navigasi yang direkam secara eksperimen. AR.Drone yang dipakai adalah AR.Drone versi 2 dengan firmware versi 2.4.8 dengan menggunakan indoor hull dan outdoor hull seperti pada Gambar 1. Program yang digunakan untuk kontrol dan proses data acquisition AR.Drone disiapkan oleh salah satu anggota tim riset, Gabriel, dengan melakukan modifikasi AR.Drone LabVIEW Toolkit [3] karena masih dirancang untuk AR.Drone versi 1 saat itu. Model vang didapat akan divalidasi ulang dengan data navigasi baru untuk menunjukkan akurasi dari model yang didapatkan. Dengan model ini diharapkan simulasi saat perancangan algoritma kontrol dapat dilakukan dengan mudah. Dengan model tersebut dinamika gerak dari AR.Drone juga akan mudah dipelajari.



Gambar 1. AR.Drone dengan Indoor dan Outdoor Hull

II. STRUKTUR MODEL DARI AR.DRONE

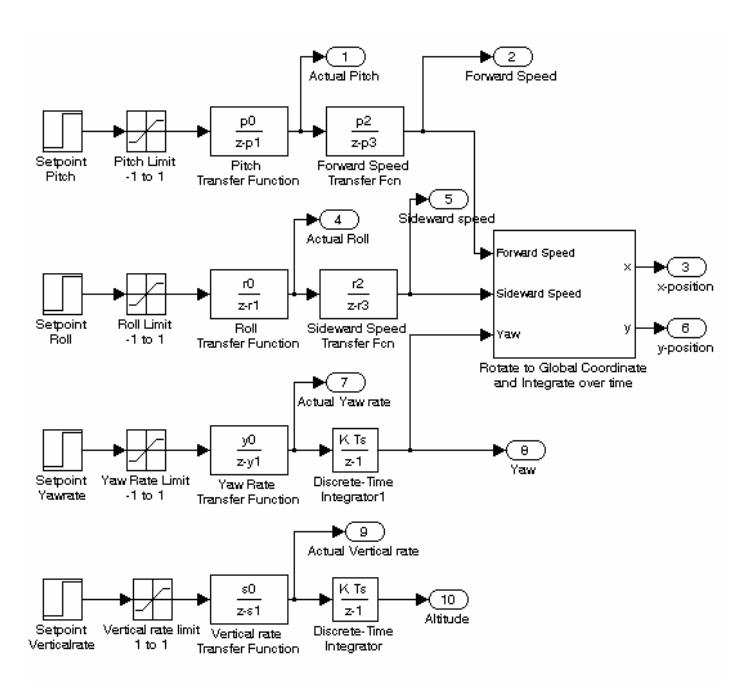
Struktur model AR.Drone yang dipakai adalah model yang digunakan oleh Krajnik [1] seperti ditunjukkan pada Gambar.2 di bawah. Dari struktur tersebut terlihat bahwa model AR.Drone terdiri dari 4 buah model yang merepresentasikan hubungan input-output antara setpoint pitch - actual pitch - forward speed; setpoint roll - actual roll - sideward speed, setpoint yaw rate - actual yaw rate - yaw, dan setpoint vertical rate -actual rate vertical - altitude. Input mempunyai rentang nilai dari -1 to 1 yang merepresentasikan nilai minimum dan

maximum dari sudut / kecepatan yang disetting pada software controller.

Subsistem rotate to global coordinate berupa rotational matrix yang merupakan maping vektor kecepatan translasi AR.Drone dari earth frame ke body-fixed frame yang kemudian diintegralkan terhadap waktu untuk mendapatkan x dan y-position. Diasumsikan bahwa ketinggian AR.Drone dijaga konstan maka x dan y-position juga dipengaruhi oleh sudut yaw dari AR.Drone sesuai dengan matrik rotasional seperti yang dinyatakan dalam (1).

$$\begin{bmatrix} v_x^E \\ v_y^E \\ v_z^E \end{bmatrix} = \begin{bmatrix} \cos \psi & -\sin \psi & 0 \\ \sin \psi & \cos \psi & 0 \\ 0 & 0 & 1 \end{bmatrix} \begin{bmatrix} v_x^B \\ v_y^B \\ v_y^B \\ v_z^B \end{bmatrix}$$
(1)

dimana v_i^E adalah kecepatan translational AR.Drone pada earth frame, sedangkan v_i^B adalah kecepatan translational pada body-fixed frame dengan i=x,y,x



Gambar.2. Strruktur Model AR.Drone

III. PROSEDUR EKSPERIMEN PENGAMBILAN DATA TERBANG

Tujuan dari pemodelan ini adalah untuk mendapatkan parameter model pada masing-masing discrete transfer function di Gambar 2 yang meliputi p_0 , p_1 , p_2 , p_3 , r_0 , r_1 , r_2 , r_3 , y_0 , y_1 , z_0 and z_1 . Untuk estimasi masing masing parameter tersebut diperlukan data terbang dari masing masing model. Prosedur pengambilan data navigasi AR.Drone pada paper ini adalah sebagai berikut:

 Pitch: berikan nilai setpoint pitch yang dinginkan (misalkan -0.3) dan take-off kan dengan kondisi hover

- on, setelah ketinggian AR.Drone stabil di 1 meter $switch-off\ hover$ sehingga drone akan bergerak ke depan dengan sudut pitch tertentu beberapa detik kemudian $switch-on\ hover$ lagi dan landing-kan. Data yang direkam selama terbang adalah $setpoint\ pitch$ (dalam rentang -1 s.d 1), pitch yang terukur θ [dalam satuan derajat], $forward\ speed\ v_x[m/s]$, dan estimasi x- $position\ [meter]$
- Roll: berikan nilai setpoint roll yang dinginkan (misal 0.25) dan take-off kan dengan kondisi hover on, setelah ketinggian AR.Drone stabil di 1 meter switch-off hover sehingga drone akan bergerak ke samping dengan sudut roll tertentu beberapa detik kemudian switch-on hover lagi dan landing-kan. Data yang direkam selama terbang adalah setpoint roll (dalam rentang -1 s.d 1), roll yang terukur φ [dalam satuan derajat], sideward speed v_ν[m/s], dan estimasi y-position [meter]
- Yaw rate: berikan nilai setpoint yaw rate yang dinginkan (misalkan -0.2) dan take-off kan dengan kondisi hover on, setelah ketinggian AR.Drone stabil di 1 meter switch-off hover sehingga drone akan bergerak pivot pada ketinggian tersebut dengan kecepatan putar tertentu selama beberapa detik kemudian switch-on hover lagi dan landing-kan. Data yang direkam selama terbang adalah setpoint yaw rate (dalam rentang -1 s.d 1), yaw yang terukur \(\psi\) [dalam satuan derajat]. Yaw rate dihitung dengan menghitung selisih sudut antar sampling dan dibagi dengan sampling time.
- Vertical rate: berikan nilai setpoint vertical rate yang dinginkan (misalkan 0.2) dan take-off kan dengan kondisi hover on, setelah ketinggian AR.Drone stabil di 1 meter switch-off hover sehingga drone akan bergerak vertical dengan kecepatan tertentu selama beberapa detik kemudian switch-on hover lagi dan landing-kan. Data yang direkam selama terbang adalah setpoint vertical rate (dalam rentang -1 s.d 1), ketinggian yang terukur z [dalam satuan meter]. Vertical rate vz dihitung dengan menghitung selisih ketinggian antara z(t) dan z(t-1) dibagi dengan sampling time.

Gambar 3 menunjukkan proses pengambilan data terbang untuk proses pemodelan ini. Data yang diambil meliputi nilai setpoint untuk pitch, roll, yaw rate dan vertical rate yang masih dalam rentang normal operating point (diambil rentang nilai dari -0.3 s.d 0.3). Data terbang diambil untuk AR.Drone dengan indoor hull dan outdoor hull.



Gambar 3. Pengambilan Data Terbang AR.Drone

IV. ESTIMASI PARAMETER MODEL

Estimasi parameter model pada masing masing struktur model pada Gambar 1 dilakukan dengan menggunakan *least-square method*. Untuk menjelaskan proses estimasi diambil contoh estimasi nilai r0 dan r1. Untuk estimasi parameter ini diperlukan data setpoint roll ϕref dan roll yang terukur ϕ . Kedua data terbang ini disusun sebagai berikut

$$\begin{bmatrix} \phi(t) \\ \phi(t+1) \\ \vdots \\ \phi(n) \end{bmatrix} = \begin{bmatrix} \phi(t-1) & \phi_{ref}(t-1) \\ \phi(t) & \phi_{ref}(t) \\ \vdots & \vdots \\ \phi(n-1) & \phi_{ref}(n-1) \end{bmatrix} \begin{bmatrix} r1 \\ r0 \end{bmatrix}$$
(2)

Secara umum persamaan di atas dapat dinyatakan dengan bentuk sebagai berikut

$$\psi = \Phi \vartheta \tag{3}$$

dimana ψ adalah vektor output, Φ adalah *matrix regressor* dan ϑ adalah vektor paramater. Dengan menggunakan *least-square method* vektor parameter dapat dicari dengan menggunakan persamaan (4).

$$\vartheta = (\Phi^T \Phi)^{-1} \Phi \psi \tag{4}$$

Dengan menggunakan persamaan (4) diperoleh nilai parameter dari ke empat model seperti ditunjukkan pada Tabel 1.

TABLE I. NILAI PARAMETER MODEL

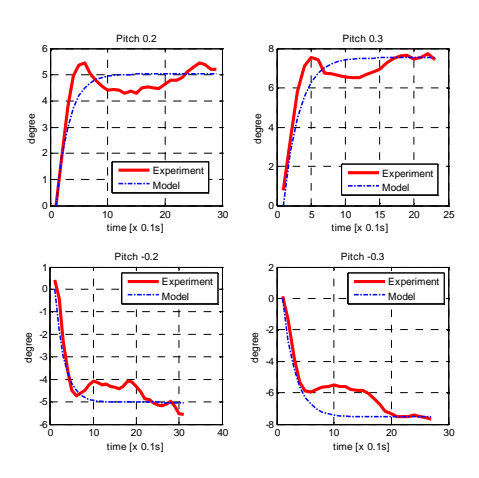
Parameters of model	Indoor Hull	Outdoor Hull
p_{o}	9.0989	7.2056
p_I	0.6382	0.6465
p_2	-0.0233	-0.0221
p_3	0.9197	0.9600
r_0	8.3805	8.9479
r_{l}	0.6613	0.6232
r_2	0.0199	0.0217
r_3	0.9277	0.932
Уo	95.9915	83.6962
y ₁	0.121	-0.0105
Zo	0.4808	0.2795
z_I	0.5167	0.7278

V. VALIDASI MODEL

Hasil validasi model akan dipaparkan disini untuk model AR.Drone dengan indoor hull. Di akhir sesi ini akan

ditampilkan komparasi grafik validasi model antara *indoor hull* dengan model *outdoor hull*. Untuk menguji apakah parameter model yang dihasilkan menghasilkan model yang valid untuk AR.Drone dilakukan validasi dengan menggunakan data navigasi baru lagi dengan prosedur pengambilan data yang sama dengan sebelumnya. Dari data yang diperoleh beberapa validasi dilakukan diantaranya sebagai berikut:

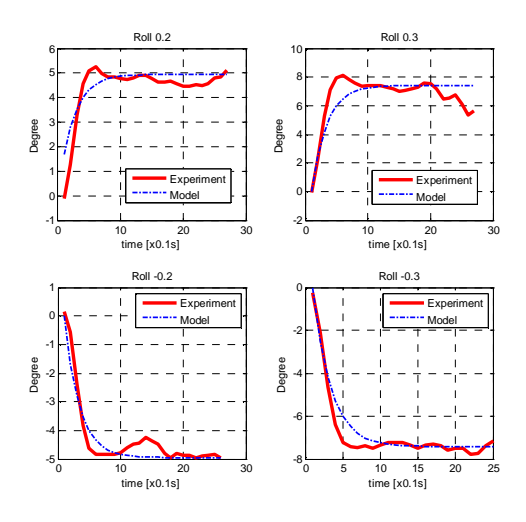
 Validasi pitch: validasi pitch dilakukan untuk mengetahui apakah model pitch yang didapatkan dapat merepresentasikan real time experiment data pitch. Berikut adalah grafik hasil perbandingan model dan real time experiment



Gambar 4. Validasi model untuk beberapa input pitch

Terlihat bahwa model dapat merepresentasikan *real time data experiment* dengan baik walaupun ada sedikit overshoot di awal awal. Secara umum respon *real time data* mencapai *settling* pada kisaran waktu 2.5 detik.

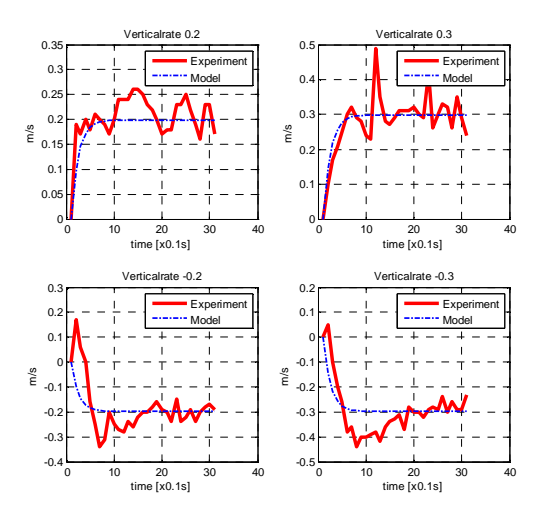
 Validasi roll: validasi roll dilakukan untuk melihat performansi model untuk berbagai input roll. Gambar 5 menunjukkan hasil perbandingan model dengan data real time experiment.



Gambar 5. Validasi model untuk beberapa input roll

Terlihat bahwa model yang dihasilkan dapat mengikuti data *experiment* untuk berbagai kemungkinan input *roll* dengan sangat baik

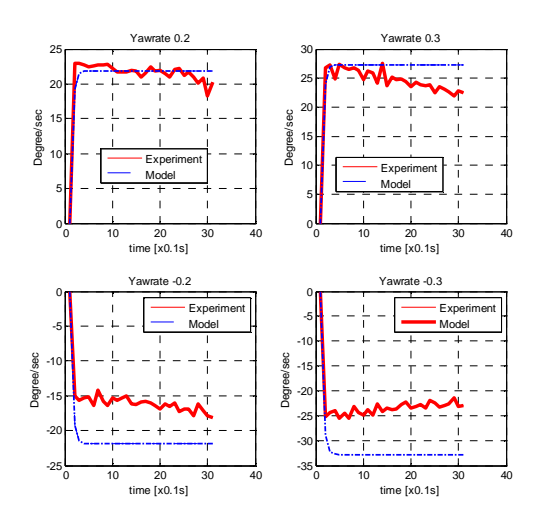
 Validasi vertical rate: validasi dilakukan untuk melihat performansi model dalam mengestimasi vertical rate dari AR.Done. Gambar 6 di bawah menunjukkan hasil dari validasi model vertical rate



Gambar 6. Validasi model untuk beberapa input vertical rate.

Dari validasi terlihat bahwa model sangat bagus merepresentasikan data eksperimen untuk berbagai nilai vertical rate.

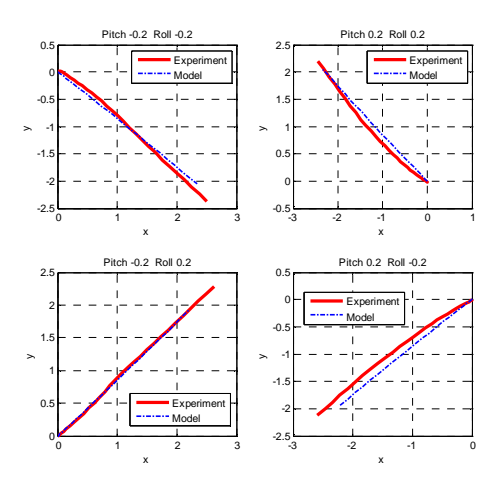
 Validasi yaw rate: validasi dilakukan untuk melihat performansi model dalam mengestimasi yaw rate dari AR.Done. Gambar 7 menunjukkan hasil dari validasi ini.



Gambar 7. Validasi model untuk input yawrate

Dari Gambar 7 terlihat bahwa model *yaw rate* dapat merepresentasikan data untuk input 0.2 dengan baik, namun untuk input lain terlihat ada error yang relatif konstan.

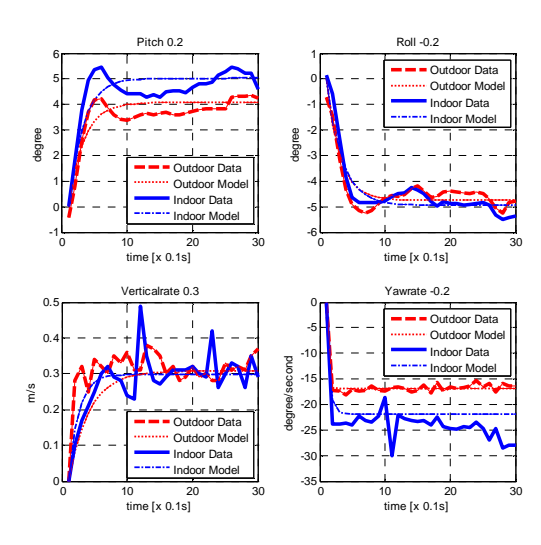
Validasi x dan y-position: validasi dilakukan untuk melihat performansi model dalam mengestimasi posisi x dan y secara bersamaan sebagai hasil perhitungan rotation matrix dan integrasinya terhadap waktu. Gambar 8 menunjukkan hasil dari validasi ini



Gambar 8. Validasi model x dan y-position untuk kombinasi beberapa input.

Dari grafik terlihat bahwa model *x* dan *y-position* model dapat merepresentasikan *real time experiment data* dengan baik.

 Perbandingan indoor dan outdoor hull: validasi ini untuk menunjukkan perbandingan model AR.Drone dengan indoor hull dan outdoor hull dalam merepresentasikan data eksperimen. Gambar 9 menunjukkan hasil perbandingan ini.



Gambar 9. Perbandingan model dengan indoor dan outdoor hull.

Dari Gambar 9 dapat dilihat bahwa ada perbedaan antara model AR.Drone dengan *indoor* dan *outdoor* hull untuk *pitch* dan *yaw rate*. Ini berarti bahwa penggunaan *indoor* hull dan *outdoor* hull sangat mempengaruhi dinamika model pada *pitch* dan *yaw rate*. Pada model *vertical rate* terlihat bahwa bahwa penggunaan *indoor* dan *outdoor* hull kurang signifikan

memperngaruhi *vertical rate* terlihat bahwa grafik relatif mempunyai *steady state* yang sama. Selanjutnya telihat perbedaan sedikit antara *indoor* dan *outdoor hull* pada *yaw rate*.

VI. KESIMPULAN

Hasil validasi yang didapat menunjukkan bahwa model dapat merepresentasikan dinamika pitch, roll dan vertical rate untuk berbagai variasi input dengan baik. Namun demikian untuk yaw rate hasilnya masih kurang memuaskan yang kemungkinan disebabkan adanya pergeseran bacaan pada yaw AR.Drone. Penggunaan indoor dan outdoor hull mempengaruhi dinamika model terutama pada pitch, roll dan yawrate namun untuk vertical rate hasilnya relatif konstan.

DAFTAR PUSTAKA

- Krajnik.T, Vonasek.V, Fiser.D, Faigl.J, "AR-Drone as a platform for Robotic Research and Education", draft version of the paper in Research and Education in Robotics: EUROBOT 2011, Heidelberg, Springer, 2011.
- [2] P. Jean Bristeau, F. Callou, D. Vissiere, N. Petit, "The Navigation and Control Technology Inside the AR Drone Micro UAV", Preprints of the 18th IFAC World Congress, Milano, Italy, August 28 – September 2, 2011.
- [3] M. Mogenson, "The AR Drone LabVIEW Toolkit: A Software Framework for the Control of Low-Cost Quadrotor Aerial Robots", Master Thesis, TUFTS University, May 2012
- [4] G. Martin,"Modeling and Control of the Parrot AR.Drone", Final Project Report SEIT, UNSW Canberra, 2012.
- [5] Y.Sun, "Modeling, Identification and Control of a Quadrotor Drone Using Low-Resolution Sensing," Master of Science Thesis, University of Illinois at Urbana-Champaign, 2012
- [6] M. De Lellis Costa de Oliveir, "Modeling, Identification and Control of Quadrotor Aircraft," Master Thesis, Dept.of Control Engineering, Czech Technical University in Prague, 2011.
- [7] A. Prayitno, "Perancangan Simulink Model Dari AR.Drone Sebagai Simulator Kontrol Quadrotor," Proceeding Seminar Nasional Riset Teknologi Informasi, 2013, pp. 203-209.



Department of Electrical Engineering and Information Technology Faculty of Engineering, Universitas Gadjah Mada Jalan Grafika 2 Yogyakarta 55281, Indonesia

Proceedings of

Conference on Information Technology and Electrical Engineering



"Leveraging Research and Technology through University-Industry Collaboration"

Eastparc Hotel, Yogyakarta 7-8 October 2014



PROCEEDINGS OF CONFERENCE ON INFORMATION TECHNOLOGY AND ELECTRICAL ENGINEERING

Yogyakarta, 7 – 8 Oktober 2014

DEPARTMENT OF ELECTRICAL ENGINEERING
AND INFORMATION TECHNOLOGY
FACULTY OF ENGINEERING
UNIVERSITAS GADJAH MADA

ORGANIZER 2014

Advisory Board Committee

Adhi Susanto, Universitas Gadjah Mada, Indonesia
Dadang Gunawan, Universitas Indonesia, Indonesia
Kuncoro Wastuwibowo, IEEE Indonesia Section
Lukito Edi Nugroho, Universitas Gadjah Mada, Indonesia
Son Kuswadi, Politeknik Elektronika Negeri Surabaya, Indonesia
T. Haryono, Universitas Gadjah Mada, Indonesia
Yanuarsyah Haroen, Institut Teknologi Bandung, Indonesia

General Chair

Hanung Adi Nugroho, Universitas Gadjah Mada, Indonesia

Organizing Committee

Adha Imam Cahyadi, Universitas Gadjah Mada, Indonesia Avrin Nur Widiastuti, Universitas Gadjah Mada, Indonesia Azkario Rizky Pratama, Universitas Gadjah Mada, Indonesia Bimo Sunarfri Hantono, Universitas Gadjah Mada, Indonesia Budi Setiyanto, Universitas Gadjah Mada, Indonesia Eka Firmansyah, Universitas Gadjah Mada, Indonesia Eny Sukani Rahayu, Universitas Gadjah Mada, Indonesia Hanung Adi Nugroho, Universitas Gadjah Mada, Indonesia I Wayan Mustika, Universitas Gadjah Mada, Indonesia Indriana Hidayah, Universitas Gadjah Mada, Indonesia Iswandi, Universitas Gadjah Mada, Indonesia Lilik Suyanti, Universitas Gadjah Mada, Indonesia Nawang Siwi, Universitas Gadjah Mada, Indonesia Noor Akhmad Setiawan, Universitas Gadjah Mada, Indonesia Prapto Nugroho, Universitas Gadjah Mada, Indonesia Ridi Ferdiana, Universitas Gadjah Mada, Indonesia Sarjiya, Universitas Gadjah Mada, Indonesia Sigit Basuki Wibowo, Universitas Gadjah Mada, Indonesia Teguh Bharata Adji, Universitas Gadjah Mada, Indonesia Yusuf Susilo Wijoyo, Universitas Gadjah Mada, Indonesia

FOREWORD

Assalamu'alaykum warohmatullaah wabarokaatuh

On behalf of the organizing committee, it is our pleasure to welcome you to Yogyakarta, Indonesia, for our annual conference. This is the 6th conference that is held by the Department of Electrical Engineering and Information Technology, Faculty of Engineering, Universitas Gadjah Mada. This year, the conference is differently called as Joint Conference 2014 as there will be 4 parallel conferences, including:

- 1. ICITEE (International Conference on Information Technology and Electrical Engineering) 2014,
- 2. CITEE (Conference on Information Technology and Electrical Engineering) 2014,
- 3. RC-CIE (Regional Conference on Computer and Information Engineering) 2014, and
- 4. CCIO (Conference on Chief Information Officer) 2014.

The joint conference's theme is "Leveraging Research and Technology through University-Industry-Government Collaboration", emphasizes on the enhancement of research in a wide spectrum, including information technology, communication and electrical engineering, as well as e-services, e-government and information system. The conference is expected to provide excellent opportunity to meet experts, exchange information, and strengthen the collaboration among researchers, engineers, and scholars from academia, government, and industry.

In addition, the conference committee has invited five renowned keynote speakers; Prof. Marco Aiello from University of Groningen (RuG), Netherland, Prof. Einoshin Suzuki from Kyushu University, Prof. Yoshio Yamamoto from Tokai University, Prof. Jun Miura from Toyohashi University of Technology, and Prof. Kazuhiko Hamamoto from Tokai University, Japan. The conference committee also invited Tony Seno Hartono from National Technology Officer of Microsoft Indonesia and Dr. Ing. Hutomo Suryo Wasisto (Associate Team Leader in MEMS/NEMS and Sensor Group) Technische Universität Braunschweig, Germany as invited speaker to present their current research activities.

This conference is technically co-sponsored by IEEE Indonesia Section. Furthermore, it is supported by JICA, AUN/SEED-Net, Ministry of Communication and Information Technology of the Republic of Indonesia, and King Mongkut's Institute of Technology Ladkrabang, Thailand.

As a General Chair, I would like to take this opportunity to express my deep appreciation to the organizing committee members for their hard work and contribution throughout this conference. I would also like to thank authors, reviewers, all speakers, and session chairs for their support to Joint Conference 2014.

In addition to the outstanding scientific program, we hope that you will find time to explore Yogyakarta and the surrounding areas. Yogyakarta is city with numerous cultural heritages, natural beauty, and the taste of traditional Javanese cuisines, coupled with the friendliness of its people.

Lastly, I would like to welcome you to Joint Conference 2014 and wish you all an enjoyable stay in Yogyakarta.

Sincerely,

Hanung Adi Nugroho, Ph.D. General Chair of Joint Conference 2014

11.50 – 12.10 Award Ceremony

12.10 - 13.30 Lunch

Schedule CITEE 2014 Yogyakarta, 7 – 8 Oktober 2014

7 Oktober 2014

	, 01110001 2011
07.30 - 08.20	Registration
08.20 - 09.00	Opening Ceremony
09.00 - 10.00	User Aware Energy Smart Offices Prof. Marco Aiello; Johann Bernoulli Institute, University of Groningen, The Netherlands
10.00 - 10.30	Group Photo & Coffee Break
10.30 - 16.50	Parallel Session
	8 Oktober 2014
07.30 - 08.10	Registration
08.10 - 10.10	Parallel Session
10.10 - 10.30	Coffee Break
10.30 - 11.10	Human-Robot Collaboration: Two Examples with a Humanoid Robot
	Prof. Jun Miura; Toyohashi University of Technology, Japan
11.10 - 11.50	Study On Distinction of Gender from Front View of Walking Motion Using Kinect Prof. Kazuhiko Hamamoto; Tokai University, Japan

PARALLEL SESSION

Ì	-	Management of the second	7 Okto	ber 2014	8 Oktober 2014				
	No	Time	Magnolia	Orchid	Hibiscus	Sunflower	Lotus	Magnolia	Orchid
Sesi 1	Moderator				Agus Nurcahyo	Dwi Normawati	Dedy Suryadi	Hanifah Rahmi	Ferzha P.U.
					(C-TEIa #3)	(I-TEIa #11)	(S-TEIa #11)	(S-TEIa #13)	(I-TEIa #8)
	1.	08.10 - 08.30		7	C-TEIa #1	I-TEIa #12	S-TEIa #9	S-TEIa #14	S-TEIb #1
Š	2.	08.30 - 08.50			C-TEIb #1	I-TEIa#13	S-TEIa #8	S-TEIa #15	S-TEIb #2
	3.	08.50 - 09.10		Í	C-TEIb #2	I-TEIb#1	S-TEIa #10	S-TEIa#6	S-TEIb #3
Sesi 2	Moderator				Sayidiman	Ignatia Dhian	Meirista W.	Adhadi K.	Alfiah Rizky
					(I-TEIa #12)	(I-TEIa #13)	(S-TEIa #9)	(S-TEIa #14)	(S-TEIb #1)
	4.	09.10 - 09.30			C-TEIa #2	I-TEIb #2	S-TEIa #12	S-TEIa#7	I-TEIa #10
Š	5.	09.30 - 09.50			C-TEIa #3	I-TEIa #11	S-TEIa #11	S-TEIa #13	I-TEIa #8
	6.	09.50 - 10.10					S-TEIa#5	S-TEIa #17	
	10.10 - 10.30			5000	757	Coffee Break			
Sesi 3	Moderator		Slamet W. (I-TEI a #9)	Faisal N. (S-TEIa #2)					
	1.	10.30 - 10.50	I-Gto #1	S-Pad #1					
-	2.	10.50 - 11.10	I-Jkt #1	S-Plg #1			ii .		
4	Moderator		Daryus C. (C-TEIa #1)	Anugerah G.P					
Sesi 4	3.	11.10 - 11.30	I-Jkt #2	S-Tng #1					
S	4.	11.30 - 11.50	I-Sby #1	S-Bdg #1					
	5.	11.50 - 12.10	I-TEIa #9	S-Jmr #1			Ī.		
	12.10 - 13.30			3905	94,9	Lunch Break			
v	Moderator		Guntur D.P. (I-TEIb #2)	L. Kuncoro P.S. (S-TEIa #3).					
Sesi	6.	13.30 - 13.50	I-Yog #1	S-Sby #1					
-	7.	13.50 - 14.10	I-Yog #2	S-Sby #2					
	Moderator		Ryan Ari S. (I-TEIa #4)	Titin Y. (S-TEIa#1)					
Sesi 6	8.	14.10 - 14.30	- VE 98 -	S-Sby #3					
Š	9.	14.30 - 14.50	I-TEIa #2	P-TEIa #1					
	10.	14.50 - 15.10	I-TEIa #1	P-TEIb#1					
	15.10 - 15.30			1200		Coffee Break		•	
	Moderator		Ghulam A.B. (I-TEIa #1)	Hendra M (P-TEIa #1)					
7	11.	15.30 - 15.50	I-TEIa #4	S-TEIa #1					
Sesi 7	12.	15.50 - 16.10	I-TEIa #5	S-TEIa #2					
S	13.	16.10 - 16.30	I-TEIa #7	S-TEIa #3					
	14.	16.30 - 16.50	I-TEIa #6	S-TEIa #4					

Table of Contents

Orga Fore Sche	r Cover unizer word dule e of Conter	nts	i ii iii iv v
Keyı	note		
1.	Key #1	User Aware Energy Smart Offices Prof. Marco Aiello; University of Groningen, The Netherlands	1
2.	Key #4	Human-Robot Collaboration: Two Examples with a Humanoid Robot Prof. Jun Miura; Toyohashi University of Technology, Japan	2
3.	Key #5	Study On Distinction of Gender from Front View of Walking Motion Using Kinect Prof. Kazuhiko Hamamoto; Tokai University, Japan	3
Tech	mical		
1.	I-Gto #1	Sistem Informasi Repositori Digital Budaya Gorontalo Arip Mulyanto, Mukhlisulfatih Latief, Manda Rohandi dan Muslimin	4
2.	I-Jkt #1	Smartchoice: Sistem Penunjang Keputusan Pemilihan Smartphone Android Elah Suryani, Gusti Aulia, Vani Ahmad Ramadhan, dan Lily Wulandari	10
3.	I-Jkt #2	Aplikasi Sistem Pendukung Keputusan Penentuan Destinasi Wisata DKI Jakarta Menggunakan Metode AHP Berbasis Web Budi Setiawan Santoso, Millati Izatillah, Mustafa Ibrahim, dan Lily Wulandari	15
4.	I-Sby #1	Permainan Dakon dengan Metode Bayesian Network Berbasis Kemampuan Kognitif Pemain Ika Ratna Indra Astutik, Surya Sumpeno, dan Mauridhi Hery Purnomo	21
5.	I-Yog #1	Sistem Informasi Geografis Pengangkutan Zat Radioaktif Adi Abimanyu, Purwanto, dan Nurhidayat	26
б.	I-Yog #2	Evaluasi Kesuksesan Penerapan Aplikasi SCM (Studi Kasus: PT. Timah (Persero), Tbk.) Harrizki A. Pradana, Suyoto, dan F. Sapty Rahayu	33
7.	I-TEIa #1	Sentiment Analysis Twitter dengan Kombinasi Lexicon Based dan Double Propagation Ghulam Asrofi Buntoro, Teguh Bharata Adji, and Adhistya Erna Purnamasari	39
8.	I-TEIa #2	Review Sistem Keamanan Data pada Komunikasi Instant Messenger Putra Wanda, Selo, dan Bimo Sunarfri Hantono	44
9.	Kosong		49
10.	I-TEIa #4	Review : Algoritma Kriptografi Untuk Pengembangan Aplikasi Telepon Anti Sadap di Android Ryan Ari Setyawan, Selo Sulistyo, dan Bimo Sunafri Hantono	53
11.	I-TEIa #5	Evaluasi Stop Word dan Stemming Retrieval Teks Menggunakan Latent Semantic Indexing pada Bahasa Indonesia Sahirul Alim T.B., Teguh Bharata Adji, dan Widyawan	59
12.	I-TEIa #6	Pengaruh Karakteristik dan Pencahayaan Objek terhadap Pelacakan Tanpa Penanda dalam Ruang Tertutup pada Aplikasi Mobile Augmented Reality Aditya Rizki Yudiantika, Selo Sulistyo, dan Bimo Sunarfiri Hantono	64

ISBN: 978-602-71396-1-9

13.	I-TEIa #7	Pengembangan Aplikasi Bergerak untuk Mendeteksi Tingkat Kemacetan Lalu Lintas dan Cuaca Memanfaatkan Google Maps API, OpenWeatherMap API, dan GPS Taufiq El Rahman, I Wayan Mustika, dan Selo	70
14.	I-TEIa #8	Sistem Informasi Geografis Pemantau Transportasi Zat Radioaktif dengan <i>Input</i> SMS Terenkripsi Berbasis Web Ferzha Putra Utama, I Wayan Mustika, dan Lita Sari	76
15.	I-TEIa #9	Model Perhitungan Bobot Jalur Optimal pada Kasus Pencarian Jalur Tercepat Slamet Wiyono, Teguh Bharata Adji, dan Hanung Adi Nugroho	82
16.	I-TEIa #10	Teknik Pemberian Rekomendasi Menu Makanan dengan Pendekatan Contextual Model dan Multi-Criteria Decission Making Robertus Adi Nugroho dan Ridi Ferdiana	88
17.	I-TEIa #11	Kajian Teknik-teknik Data Mining untuk Diagnosis Penyakit Jantung Koroner Dwi Normawati, Hamung Adi Nugroho, dan Noor Akhmad Setiawan	95
18.	I-TEIa #12	Identifikasi Marka Garis Pembatas Jalan dan Obyek Penghalang di Jalan Raya Melalui Teknik Deteksi Kandidat dan Pengklasifikasian Sayidiman, Hanung Adi Nugroho, dan Rudy Hartanto	101
19.	I-TEIa #13	Peranan Fitur Kontur dan Slope dalam Pengenalan Tanda Tangan Offline dengan Dynamic Time Warping Ignatia Dhian Estu Karisma Ratri, Hanung Adi Nugroho, dan Teguh Bharata Adji	107
20.	I-TEIb #1	Klasifikasi Jalur Minat Siswa Menggunakan Algoritme Support Vector Machine (SVM) (Kasus: SMA Negeri 1 dan SMA Negeri 2 Sragen) Indriana Hidayah, Adhistya Erna Permanasari, dan Theopilus Bayu Sasongko	112
21.	I-TEIb #2	Rekomendasi Obyek Pariwisata Indonesia berbasis Analisis Sentimen Sosial Media Terkini Bimo Sunarfri Hantono and Guntur Dharma Putra	117
22.	P-TEIa #1	Seleksi Aturan Menggunakan <i>Rough Set Theory</i> untuk Diagnosis Gangguan Transformator Daya Berbasis <i>Dissolved Gas Analysis</i> (DGA) Hendra Marcos, Noor Akhmad Setiawan, dan Suharyanto	123
23.	P-TEIb #1	Pengaruh Penambahan Kapasitor terhadap Unjuk Kerja Motor Induksi Tiga Fase Sangkar Tupai Bambang Sugiyantoro, Tiyono, dan M. Rasyid Aziz	128
24.	S-Pad #1	Deteksi Dini Penyakit Paru secara Mobile Berbasis Bayesian Network Rahmadi Kurnia, Fitri Aini, dan Ikhwana Elfitri	133
25.	S-Plg #1	Pengenalan Kata dengan Metode <i>Linear Predictive Coding</i> dan Jaringan Syaraf Tiruan pada <i>Mobile Robot Irmawan, Hera Hikmarika, Desi Windi Sari, dan M. Chaerul Tammimi</i>	139
26.	S-Tng #1	Koreksi Citra pada Sensor Electrical Capacitance Volume Tomography Amir Rudin, Arbai Yusuf, Imamul Muttakin, Rohmadi, Wahyu Widada, dan Warsito P. Taruno	145
27.	S-Bdg #1	Analisis Sistem Stabilisasi Citra Angiogram dengan Algoritma SURF untuk Peningkatan Akurasi Perhitungan QuBE Hilman Fauzi	151
28.	S-Jmr #1	Perancangan Sistem Pengaturan Suhu pada Mesin Sangrai Kopi Berbasis Logika Fuzzy Satryo Budi Utomo, Moh Agung P.N, dan Sumardi	157
29.	S-Sby #1	Model AR Drone dengan Indoor dan Outdoor Hull Agung Prayitno and Veronica Indrawati	162

30.	S-Sby #2	Desain Smart Meter untuk Memantau dan Identifikasi Pemakaian Energi Listrik pada Sektor Rumah Tangga Menggunakan <i>Backpropagation Neural Network</i> <i>Koko Hutoro, Adi Soeprijanto, Ontoseno Penangsang, dan Matt Syai'in</i>	168
31.	S-Sby #3	Aplikasi Jaringan Sensor Nirkabel untuk <i>Monitoring</i> Korban Bencana Alam M. Zen Samsono Hadi, Jodi Ryan Setyawan, Rahardita W.S, dan H. Uehara	174
32.	S-TEIa #1	Studi Perbandingan Metode Penilaian Kualitas Citra pada Citra Retina Titin Yulianti, Hanung Adi Nugroho, dan Noor Akhmad Setiawan	180
33.	S-TEIa #2	Peningkatan Kontras pada Citra Digital Mammogram Faisal N., Hanung Adi Nugroho, Indah Soesanti, and Lina Choridah	186
34.	S-TEIa #3	Perbaikan Citra untuk Peningkatan Kinerja Deteksi Wajah Fitur HAAR-like dengan Variasi Pencahayaan Laurentius Kuncoro Probo Saputra, Hanung Adi Nugroho, dan Teguh Bharata Adji	192
35.	S-TEIa #4	Ekstraksi Ciri Suara Jantung Berbasis Metode Statistis Domy Kristomo, Indah Soesanti, dan Oyas Wahyunggoro	198
36.	S-TEIa #5	Low Cost Remote Terminal Unit (RTU) Sistem SCADA Berbasis Android Hendy Rudiansyah, Suharyanto, dan Adha Imam Cahyadi	203
37.	S-TEIa #6	Kajian Deteksi Exudates untuk Diagnosis Diabetic Retinopathy Widhia Oktoeberza KZ, Hanung Adi Nugroho, dan Teguh Bharata Adji	211
38.	S-TEIa #7	Unjuk Kerja Biometrika Iris Mata Menggunakan Metode <i>Edge Histogram Descriptor</i> untuk Aplikasi Keamanan <i>Danny Kurnianto, Indah Soesanti, dan Hanung Adi Nugroho</i>	217
39.	S-TEIa #8	Metode Digitalisasi Citra pada Sinyal EKG Jaenal Arifin, Jans Hendry, dan Sri Kusrohmaniah	224
40.	S-TEIa #9	Analisis Tekstur Citra Interpolasi terhadap Steganografi Meirista Wulandari dan Indah Soesanti	231
41.	S-TEIa #10	Implementasi GA untuk Optimasi Generator Uap Berbasiskan Model BPNN di PT. Chevron Pacific Indonesia Liris Maduningtyas, Risanuri Hidayat, Litasari, Teguh Handjoyo, dan Hasballah	237
42.	S-TEIa #11	Pengenalan Wajah dengan Menggunakan Dimensi Fraktal dan Neural Network Dedy Suryadi, Risanuri Hidayat, dan Hanung Adi Nugroho	243
43.	S-TEIa #12	Quadrotor PD Auto-tuning Berbasis LS-Loop Shaping Atikah Surriani, Meilia Safitri, Almira Budiyanto, dan Adha Cahyadi	249
44.	S-TEIa #13	Ekstraksi Ciri Berbasis Wavelet dan Klasifikasi Berbasis Logika Fuzzy untuk Deteksi Dini Kanker Payudara pada Citra Mammogram <i>Hanifah Rahmi Fajrin dan Hanung Adi Nugroho</i>	255
45.	S-TEIa #14	Pengujian Tracking Color Menggunakan IP Webcam untuk Deteksi Ketinggian Air Adhadi Kurniawan, I Wayan Mustika, dan Sri Suning Kusumawardani	261
46.	S-TEIa #15	Pemetaan Alamat dan Fungsi Basis untuk Meningkatkan Unjuk-Kerja CMAC Muhamad Iradat Achmad, Adhi Susanto, dan Hanung Adinugroho	267
47.	S-TEIa #17	Estimasi Model Sederhana Kendali Posisi Ketinggian Quadrotor AR.Drone 2 Ardhimas Wimbo Wasisto, Atikah Surriani, Nia Maharani, Adha Imam Cahyadi, dan Teguh Bharata Adji	274
48.	S-TEIb #1	Perbandingan Karakteristik Morfologi Inti nRBC (Nucleated Red Blood Cell) dengan 5 Jenis Sel Darah Putih Hanung Adi Nugroho dan Alfiah Rizky Diana Putri	279

49.	S-TEIb #2	Optimasi Waktu Gerak Lurus Robot Lengan 6 DOF Dengan Algoritma Genetik Oyas Wahyunggoro, R. Suryoto Edy Raharjo, dan Priyatmadi	284
50.	S-TEIb #3	Pengaruh Jumlah Titik Sudut Elemen Poligon terhadap Peningkatan Akurasi Metode Elemen Hingga Poligonal dengan Fungsi Bentuk Wachspress <i>Eny Sukani Rahayu</i>	289
51.	C-TEIa #1	Evaluasi Unjuk Kerja <i>Good Convolutional Codes</i> pada Skema Penyandian Bertingkat RS-CC Daryus Chandra, Adhi Susanto, dan Sri Suning Kusumawardani	293
52.	C-TEIa #2	Analisis Unjuk Kerja Repeat-Accumulate Codes (RAC) untuk Kanal AWGN dengan BER Chart dan EXIT Chart Daryus Chandra, Adhi Susanto, dan Sri Suning Kusumawardani	299
53.	C-TEIa #3	Kerangka Teori Permainan dengan Perbaikan Utilitas untuk Pengorganisasian Diri di dalam Jaringan Heterogen LTE Agus Nurcahyo, I Wayan Mustika, dan Sigit Basuki Wibowo	305
54.	C-TEIb #1	Pakai-Ulang Frekuensi Fraksional dengan Penjenjangan Berbeda untuk Layanan Upaya Terbaik pada Teknologi Selular LTE Mulyana and Budi Setiyanto	311
55.	C-TEIb #2	Unjuk Kerja Protokol AODV+ pada Komunikasi V2V dalam VANET I Wayan Mustika, Jan Wantoro, dan Bimo Sunarfii Hantono	316